

مقاله پژوهشی

بررسی اثرات ضد رگ زایی کمپلکس اکسوانادیم (IV) از شیف باز N و N'-دی پیریدوکسیل (سیکلوهگزان دی آمین) بر روی پرده کوریولانتوتیک جنین جوجه

پریسا قربانی^۱، صفرعلی بیرم آبادی^{۲*}، مسعود همایونی تبریزی^۳، پریچهره یغمایی^۱

۱- گروه زیست‌شناسی، دانشگاه آزاد اسلامی، واحد علوم و تحقیقات، تهران، ایران

۲- گروه شیمی، واحد مشهد، دانشگاه آزاد اسلامی، مشهد، ایران

۳- گروه زیست‌شناسی، دانشگاه آزاد اسلامی واحد مشهد، مشهد، ایران

تاریخ پذیرش مقاله: ۱۳۹۸/۰۳/۰۷

تاریخ دریافت مقاله: ۱۳۹۷/۱۰/۲۵

چکیده

زمینه و هدف: شیف بازها یک گروه مهم از ترکیبات در توسعه داروهای جدید به شمار می‌آیند. رویکرد فعلی جهت یافتن درمانی مؤثرتر برای سرطان، تنظیم مراحل گوناگون فرایند آنژیوژنز با استفاده از سرکوب‌کننده‌های رگ زایی نظیر کمپلکس‌های فلزی سنتز شده از شیف بازها است. از این رو، این پژوهش با هدف بررسی اثرات ضد رگ زایی کمپلکس اکسوانادیم (IV) از شیف باز N و N'-دی پیریدوکسیل (سیکلوهگزان دی آمین) بر روی پرده کوریولانتوتیک جنین جوجه انجام شده است.

مواد و روش‌ها: فعالیت ضد رگ زایی کمپلکس اکسوانادیم (IV) از شیف باز N و N'-دی پیریدوکسیل (سیکلوهگزان دی آمین) با استفاده از تکنیک Real-time PCR و سنجش بیان ژن‌های مرتبط با رگ زایی در سلول‌های سرطان پستان (MCF-7) و تست CAM بررسی گردید.

نتایج: مطالعه تغییرات بیان ژن‌ها نشان داد که کمپلکس اکسوانادیم (IV) از شیف باز N و N'-دی پیریدوکسیل (سیکلوهگزان دی آمین) اثر مهارتی چشم‌گیری بر بیان ژن‌های VEGF و VEGF-R می‌گذارد. یافته‌های حاصل از تست CAM نشان داد در عروق تحت تیمار با دوزهای گوناگون از کمپلکس (۱۰۰، ۲۰۰، ۴۰۰ و ۸۰۰ میکروگرم بر میلی‌لیتر) تعداد و طول کاهش معنی‌داری یافته است ($P < 0.01$ و $P < 0.001$) و نیز کاهش معنی‌داری در وزن و قد جنین‌های تحت تیمار با کمپلکس نسبت به گروه کنترل در سطح $P < 0.05$ ، $P < 0.01$ و $P < 0.001$ مشاهده گردید.

نتیجه‌گیری: در پژوهشی که انجام گرفت، کمپلکس اکسوانادیم (IV) از شیف باز N و N'-دی پیریدوکسیل (سیکلوهگزان دی آمین) دارای اثرات ضد رگ زایی بود که این ویژگی به کارگیری این کمپلکس در درمان سرطان را ممکن می‌سازد.

کلمات کلیدی: کمپلکس اکسوانادیم (IV)، شیف باز N و N'-دی پیریدوکسیل، ضد رگ زایی، پرده کوریولانتوتیک

مقدمه

سرطانی نیز برای رشد و متاستاز نیازمند دسترسی به عروق خونی می‌باشند. کشف عوامل مهارکننده آنژیوژنز این امید را می‌دهد که بتوان با استفاده از آن‌ها نرخ مرگ‌ومیر و عوارض سرطان‌ها را کاهش داد. شواهد حاکی از آن هستند که عوامل آنتی آنژیوژنیک سلول‌های سرطانی را از بین می‌برند. درمان آنژیوژنیک به صورت غیرمستقیم و با محروم ساختن سلول‌ها از اکسیژن و مواد غذایی آن را مهار می‌نماید. استفاده از سرکوب‌کننده‌های آنژیوژنز و مهارکننده‌های رسپتور می‌تواند مانع نئوواسکولاریزاسیون بافت سرطانی و رشد تومور شود، لذا

آنژیوژنز هم توسط مولکول‌های تحریک‌کننده و هم توسط مولکول‌های مهارکننده تنظیم می‌شود (۱). تبدیل به فنوتیپ آنژیوژنیک نیازمند تغییر در معادله عوامل تحریکی و مهارتی آنژیوژنز است. این سیگنال منجر به فعال‌سازی ژن‌هایی در بافت موردنظر می‌شود که پروتئین‌هایی را تولید می‌کنند که سبب رشد و تکثیر سلول‌های عروق خونی می‌گردند. سلول‌های

*نویسنده مسئول: صفرعلی بیرم آبادی، گروه شیمی، واحد مشهد، دانشگاه آزاد اسلامی، مشهد، ایران
Email: beiramabadi6285@mshdiau.ac.ir
https://orcid.org/0000-0001-5123-9524

پژوهشگران بر این باورند که داروهای ضد رگ زایی دارای اثرات جانبی کمتری هستند و مقاومت دارویی کمتری را طی درمان سرطان ایجاد می‌کنند. به‌علاوه پیشنهاد شده است که درمان ضد آنژیوژنیک ممکن است به‌طور موقت رگ‌های تومور را نرمالیز کرده و در نتیجه تحویل و اثربخشی داروهای سیتوتوکسیک را بهبود بخشد؛ بنابراین رویکرد فعلی جهت یافتن درمانی مؤثرتر برای سرطان، تنظیم مراحل مختلف فرایند آنژیوژن با استفاده از سرکوب‌کننده‌های رگ زایی نظیر کمپلکس‌های فلزی سنتز شده از شیف بازها است (۹).

در این راستا، ما اثرات ضد رگ زایی کمپلکس اکسوآنادیم (IV) از شیف باز N و N'-دی پیریدوکسیل (سیکلوهگزان دی آمین) بر روی پرده کوریوالانتوتیک جنین جوجه را مورد بررسی قرار می‌دهیم. در این مقاله کمپلکس اکسوآنادیم (IV) از شیف باز N و N'-دی پیریدوکسیل (سیکلوهگزان دی آمین) به‌صورت VO-CYC نشان داده می‌شود.

مواد و روش‌ها

فعالیت ضد رگ زایی کمپلکس مذکور با استفاده از تست‌های *In vitro* و *In vivo* مورد بررسی قرار گرفت. به‌منظور سنجش این فعالیت از طریق *In vitro* بیان ژن‌های مرتبط با رگ زایی (VEGF و VEGF-R) طبق مراحل ذیل ارزیابی گردید. ابتدا رده سلولی سرطان پستان (MCF-7) کشت داده شد و سپس با غلظت‌های ۱۵، ۳۰ و ۶۰ میکروگرم بر میلی‌لیتر کمپلکس تیمار گردید (۷). در مرحله بعد باگذشت ۴۸ ساعت از زمان تیمار RNA طبق دستورالعمل کیت Roche استخراج شد و سپس سنتز CDNA توسط کیت DENA انجام گردید. توالی پرایمرهای مورد استفاده در جدول ۱ آورده شده است. در نهایت

ممکن است در درمان سرطان کارآمد واقع گردد (۲، ۳). کشف بازدارنده‌های آنژیوژن تومور که VEGFR را هدف قرار داده‌اند، به زمینه مطالعاتی بسیاری از محققین در طول چند دهه گذشته تبدیل شده است. بازدارنده‌های جدید آزمایش‌های کلینیکی را پشت سر گذاشتند و به‌عنوان داروهای جدید هدف قرار دهنده آنژیوژن وارد بازار شده‌اند. این بازدارنده‌ها دارای عملکرد اثبات‌شده در برابری بسیاری از سرطان‌ها بودند و محققین را به بررسی عمقی‌تر این موضوع تشویق کردند (۴).

شیف بازها به‌عنوان یک گروه مهم از ترکیبات در توسعه داروهای جدید به شمار می‌آیند. این ترکیبات توسط واکنش‌های تراکمی بین ترکیب کربونیل با آمین تحت شرایط خاص، تشکیل می‌شوند (۵). اخیراً مشتقات حاوی شیف بازهای متنوع ساخته شده‌اند و از نظر فعالیت‌های زیستی از جمله فعالیت‌های ضد سرطان، ضد اکسیدانی، ضد میکروبی، ضد التهابی، ضد تشنج، ضد افسردگی و ضد اضطراب، ضد فشارخون و ضد قارچ بررسی شده‌اند. کمپلکس‌های فلزی شیف بازها به علت ثبات و فعالیت بیولوژیکی در زمینه‌های بی‌شماری مشهور هستند (۶). به‌منظور جلوگیری از رشد تومور و وقوع متاستاز اثرات ضد رگ زایی برخی شیف بازها و کمپلکس‌های فلزی آن‌ها به‌صورت *in vitro* و *in vivo* مورد شناسایی قرار گرفته‌اند. از جمله این مطالعات می‌توان به بررسی اثرات ضد رگ زایی کمپلکس فلزی Mn(II) از شیف بازی مشتق شده از پیریدوکسال (۷) و شیف بازهای سری والپروئیل (۸) اشاره کرد. این ترکیبات ممکن است موجب مهار سنتز پروتئین‌های آنژیوژنیک توسط سلول‌های سرطانی، خنثی‌سازی پروتئین‌های آنژیوژنیک و مهار گیرنده‌های اندوتلیالی برای پروتئین‌های آنژیوژنیک گردند یا به‌طور مستقیم آپوپتوز را در سلول‌های اندوتلیال القا نمایند (۹). برخی

جدول ۱- توالی پرایمرهای ژن‌های مرتبط با رگ زایی

Gene	Forward 5'→3'	Reverse 5'→3'
GAPDH	5'CAAGGTCATCCATGACAACCTTTG3'	5'GTCCACCACCCTGTTGCTGTAG3'
VEGF	5'CTGCTGTCTTGGGTGCATTG3'	5'TTCACATTGTGTGCTGTAG 3'
VEGFR	5'TATGTCTATGTTCAAGATTAC3'	5'AAGTTTCTTATGCTGATGCTT3'

نهایتاً محلول حاصل برای بستن به پلیت درب دار منتقل گردید، در فویل پیچیده شد و به یخچال انتقال یافت. به هنگام تیمار تکه‌هایی از اسفنج آماده‌شده بر روی پرده کوریوالانتوییک جنین جوجه گذاشته شد و به این ترتیب موقعیت تیمار مشخص گردید. بعد از انجام تیمار پنجره بسته شد و تخم‌مرغ‌ها مجدداً داخل دستگاه قرار گرفتند. در روز دوازدهم آنکوباسیون تخم‌مرغ‌ها از دستگاه خارج شدند و با استفاده از فوتواسترومیکروسکوپ مورد بررسی قرار گرفتند. جهت ارزیابی تعداد و طول انشعابات رگ‌های خونی و مقایسه آن با گروه کنترل کلیه تصاویر به کمک نرم‌افزار Image J مورد بررسی قرار گرفتند. میانگین شاخص‌های موردسنجش با استفاده از نرم‌افزار SPSS ورژن ۱۶ با آزمون آماری آزمون آنالیز واریانس یک‌طرفه one-way ANOVA در سطح معنی‌داری $p < 0.01$ ارزیابی شد.

نتایج

نتایج بررسی *In vitro*:

تغییرات بیان ژن‌های VEGF و VEGF-R در سلول‌های

MCF-7 تحت تیمار با کمپلکس VO-CYC

بررسی تغییرات بیان ژن VEGF به‌عنوان یکی از مهم‌ترین ژن‌های دخیل در پدیده رگ زایی نشان داد که کمپلکس VO-CYC دارای اثر مهارى بر بیان این ژن است. همان‌طور که در نمودار ۱ نشان داده شده است، تغییرات بیان این ژن در غلظت‌های ۱۵ و ۳۰ میلی‌گرم در میلی‌لیتر تفاوت چندانی ندارد، اما در غلظت ۶۰ میلی‌گرم در میلی‌لیتر بیان این ژن به شدت کاهش یافته است که در مقایسه با کنترل کاهش معنی‌داری است. همچنین بررسی تغییرات بیان ژن VEGF-R در سلول‌های MCF-7 تحت تیمار با کمپلکس VO-CYC در مقایسه با گروه کنترل نشان داد که این کمپلکس اثر مهارى چشمگیری بر بیان این ژن می‌گذارد. با افزایش غلظت کمپلکس VO-CYC اثر مهارى نیز افزایش یافت که نشان‌دهنده اثرات وابسته به غلظت است.

نتایج بررسی‌های *In vivo*

یافته‌های حاصل از تست CAM کاهش میزان تعداد و طول عروق تحت تیمار با دوزهای مختلف کمپلکس VO-CYC را نشان می‌دهد. شکل ۱ تغییرات مورفولوژیک میزان رگ زایی پرده کوریوالانتوییک جنین جوجه را در تیمار با کمپلکس را نشان می‌دهد.

به‌منظور سنجش میزان تغییرات بیان ژن‌ها تکنیک Real-time PCR انجام گرفت. در این بررسی، از ژن GAPDH به‌عنوان ژن کنترل استفاده شد (۱۰).

جهت سنجش فعالیت ضد رگ زایی از طریق *In vivo* از تست CAM یا تست پرده کوریوالانتوییک جنین جوجه استفاده شد. پرده کوریوالانتوییک جنین جوجه دارای میزان بالای عروق است.

به‌منظور انجام تست، ابتدا ۶۰ عدد تخم‌مرغ نطفه‌دار نژاد ROSS از شرکت مرغداران طوس تهیه شد و پس از الکل کشی به دستگاه جوجه‌کشی (با دمای ۳۷ درجه سلسیوس و رطوبت ۶۵ درجه) منتقل و به‌صورت افقی گذاشته شدند. پس از گذشت ۴۸ ساعت تخم‌مرغ‌ها از دستگاه خارج و به زیر هود انتقال داده شدند و با استفاده از پنس در انتهای تخم‌مرغ (قسمت پهن‌تر که اتافک هوا قرار دارد) سوراخی کوچک ایجاد کرده و سپس در قسمت رویی تخم‌مرغ پنجره بازگردید. محل پنجره و اتافک هوا با استفاده از لامل و پارافین استریل پوشانده و تخم‌مرغ‌ها مجدداً در دستگاه جوجه‌کشی قرار داده شدند. سپس تخم‌مرغ‌ها به شکل تصادفی در گروه‌های ۱۰ تایی به‌صورت زیر تقسیم شدند:

گروه ۱: نمونه‌های کنترل فاقد تیمار

گروه ۲: نمونه‌های شاهد آزمایشگاهی (نرمال سالین)

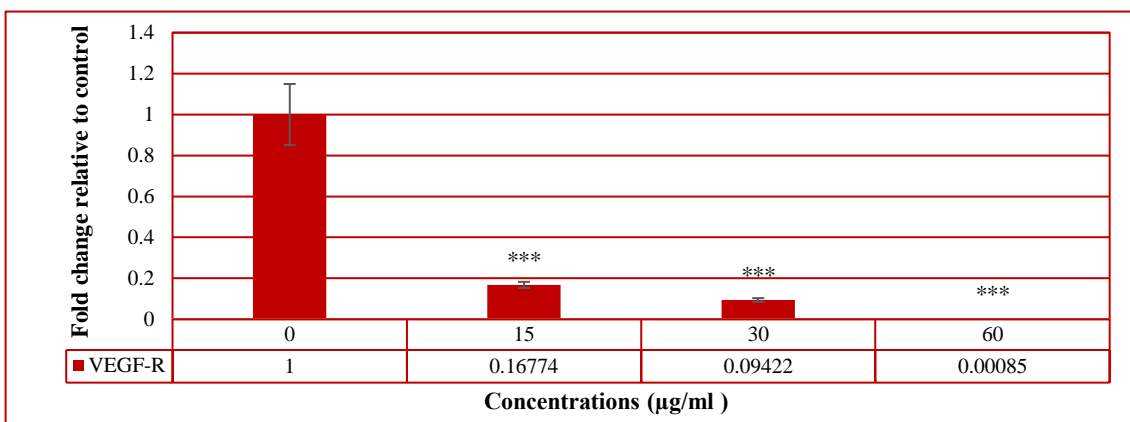
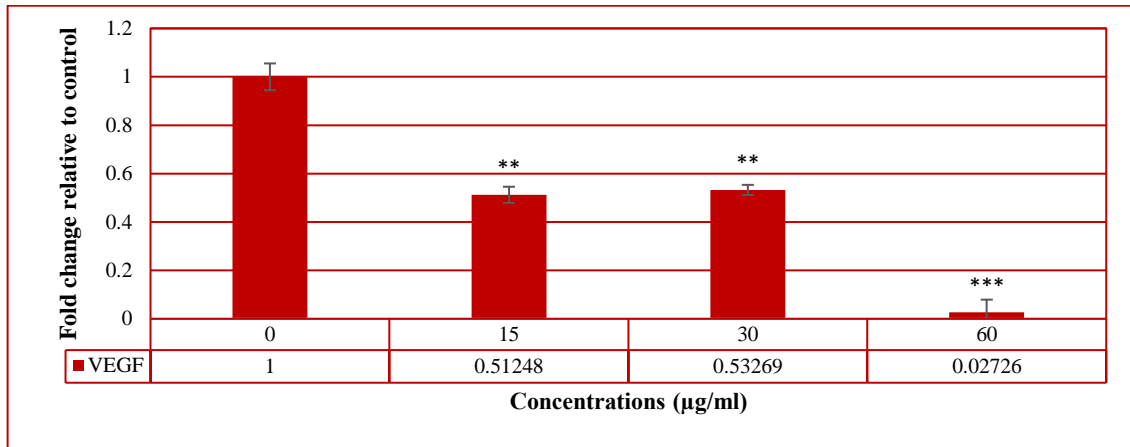
گروه ۳: نمونه‌های تیمار شده با غلظت ۱۰۰ میکروگرم بر میلی‌لیتر کمپلکس

گروه ۴: نمونه‌های تیمار شده با غلظت ۲۰۰ میکروگرم بر میلی‌لیتر کمپلکس

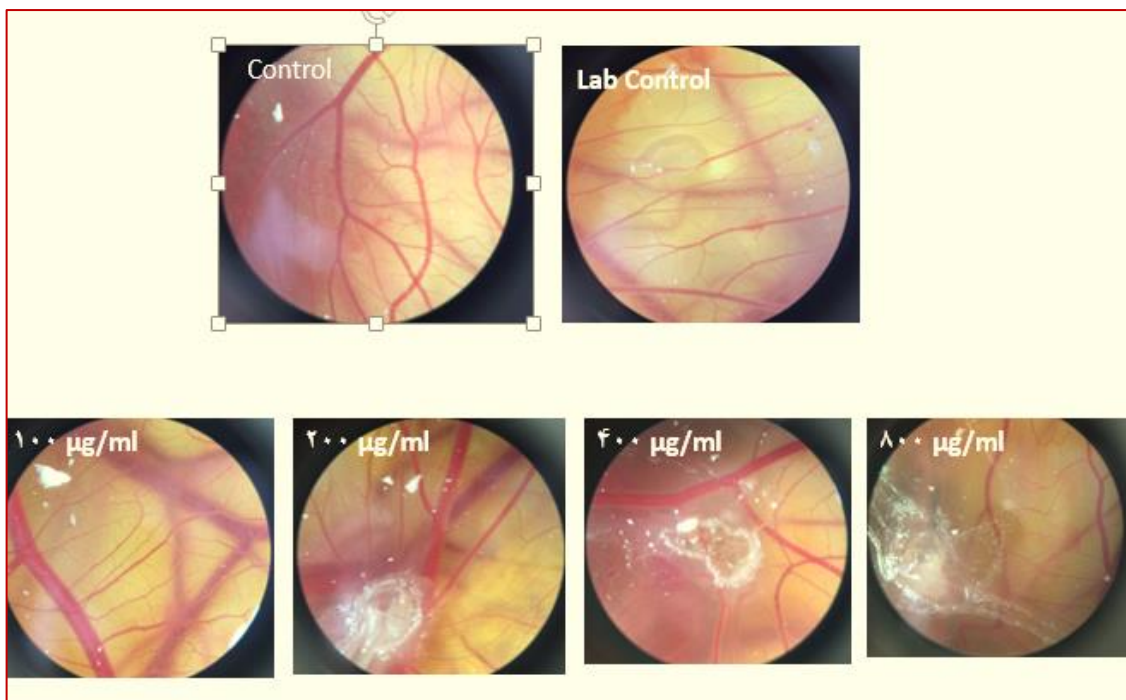
گروه ۵: نمونه‌های تیمار شده با غلظت ۴۰۰ میکروگرم بر میلی‌لیتر کمپلکس

گروه ۶: نمونه‌های تیمار شده با غلظت ۸۰۰ میکروگرم بر میلی‌لیتر کمپلکس

برای تیمار که در روز هشتم آنکوباسیون انجام می‌شود به اسفنج ژلاتینی نیاز است که موقعیت تزریق را مشخص نماید و ماده به‌طور یکسان پخش شود. برای تهیه اسفنج ۵ میلی‌لیتر از آلبومین رقیق سفیده تخم‌مرغ جدا گردید و به فالكون انتقال داده شد. سپس محلول ۰/۶٪ آگار در نرمال سالین را به فالكون دیگری منتقل شد و دو فالكون در بن ماری با دمای ۴۹ درجه قرار داده شد تا هم‌دمای شوند. سپس، محلول ۰/۶٪ آگار در نرمال سالین به محلول آلبومین رقیق‌شده افزوده و ۲۰۰ میکرولیتر پنی‌سیلین استرپتومایسین به محلول به‌دست‌آمده اضافه شد.



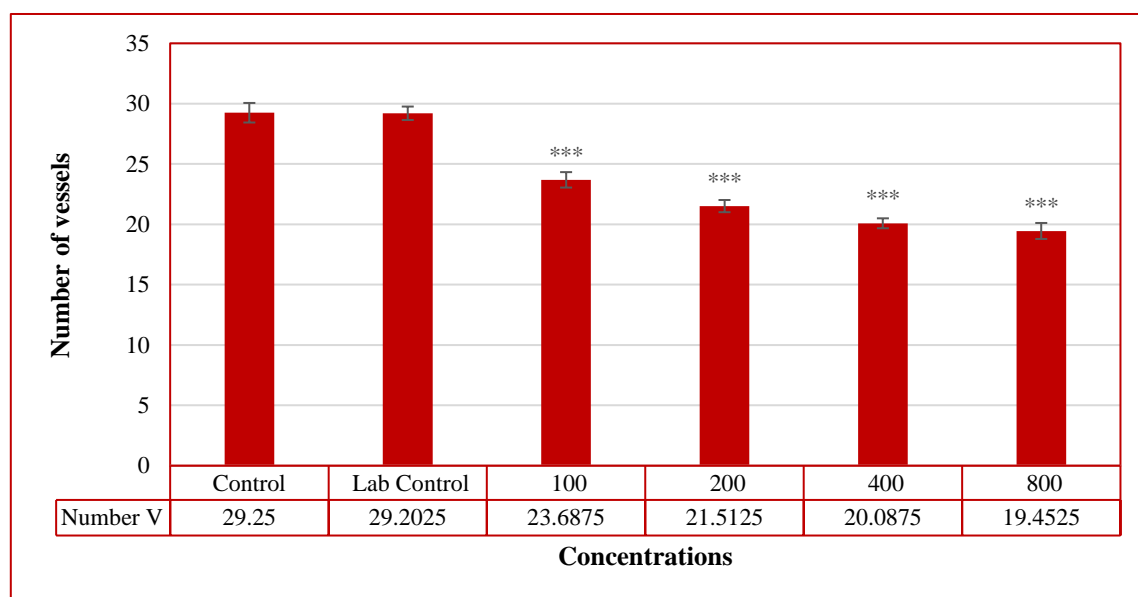
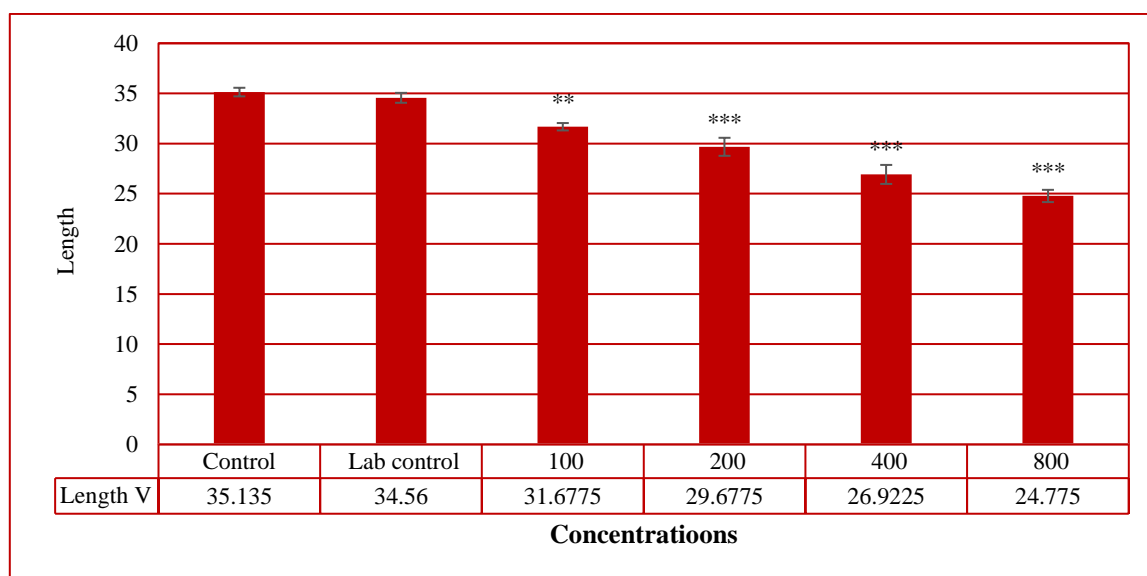
شکل ۱- تغییرات بیان ژن‌های VEGF و VEGF-R در سلول‌های MCF-7 تیمار شده با غلظت‌های مختلف کمپلکس VO-CYC (۱۵، ۳۰ و ۶۰ میکروگرم بر میلی‌لیتر). داده‌ها در سطح $P < 0.01$ و $P < 0.001$ معنی‌دار است.



شکل ۱- تصاویر به‌دست‌آمده از میزان رگ‌زایی پرده کوریوآنتوتیک جنین جوجه حاصل از تیمار با غلظت‌های مختلف کمپلکس VO-CYC. همان‌طور که در تصویر مشاهده می‌شود با افزایش غلظت کمپلکس VO-CYC میزان رگ‌زایی در پرده کوریوآنتوتیک جنین جوجه کاهش می‌یابد.

۰/۰۱ P وجود دارد. این اختلاف در سایر غلظت‌های ۲۰۰، ۴۰۰ و ۸۰۰ میکروگرم بر میلی‌لیتر در سطح $P<0/001$ گزارش گردید. همچنین میانگین تعداد عروق خونی تیمار شده با کمپلکس VO-CYC در مقایسه با نمونه کنترل حاکی از اختلاف معنی‌داری در سطح $P<0/001$ است. همان‌طور که در نمودار ۲ ملاحظه می‌گردد، کمپلکس VO-CYC در کاهش طول و تعداد رگ‌ها اثرات وابسته به غلظتی را نشان داد و با افزایش غلظت این کمپلکس طول و تعداد عروق نیز کاهش یافت.

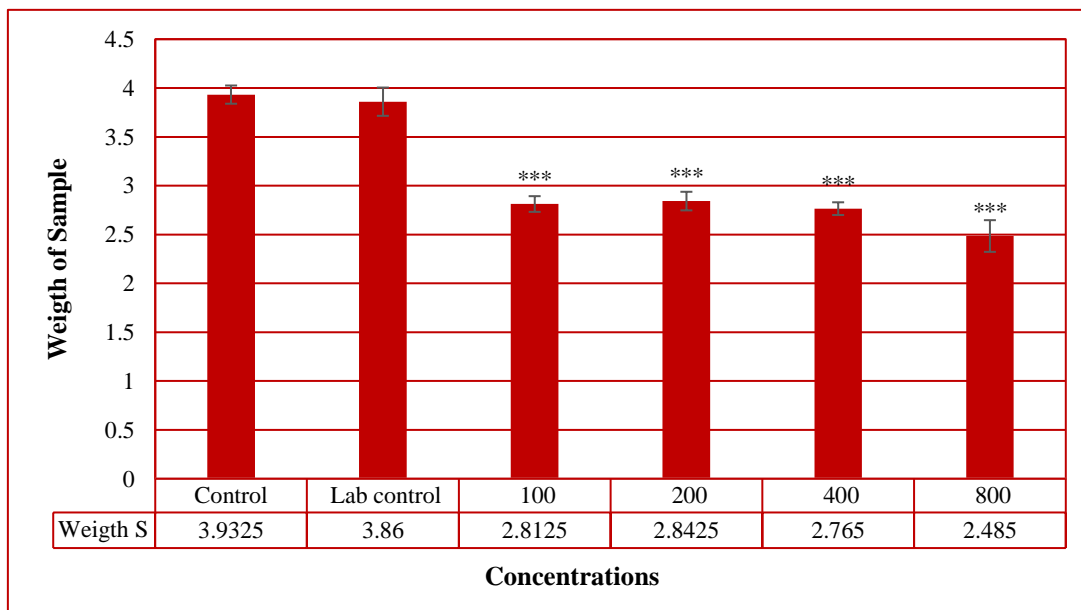
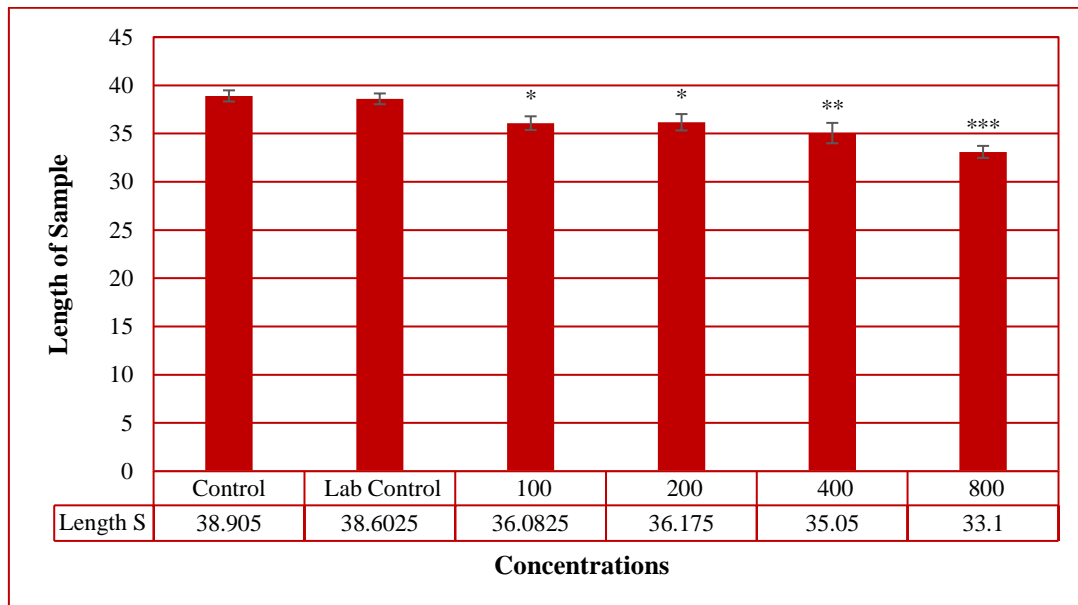
مطالعه طول و انشعابات رگ‌های خونی تیمار شده با کمپلکس VO-CYC
نتایج حاکی از آن است که کمپلکس VO-CYC تعداد و طول عروق خونی را در مقایسه با کنترل و شاهد آزمایشگاهی به‌طور معنی‌داری کاهش می‌دهد. میانگین طول عروق خونی تیمار شده با کمپلکس VO-CYC در مقایسه با نمونه کنترل نشان داد که بین گروه تحت تیمار با غلظت ۱۰۰ میکروگرم بر میلی‌لیتر کمپلکس VO-CYC با گروه کنترل اختلاف معنی‌داری در سطح



نمودار ۲- میانگین طول و تعداد رگ‌های خونی پرده کوریوآلانتوییک جنین جوجه تیمار شده با غلظت‌های مختلف کمپلکس VO-CYC در مقایسه با گروه کنترل. همان‌طور که مشاهده می‌شود با افزایش غلظت کمپلکس VO-CYC طول و تعداد عروق خونی کاهش معنی‌داری را نسبت به گروه کنترل نشان می‌دهند. اختلاف معنی‌داری در سطح $P<0/01$ و $P<0/001$ گزارش گردید.

اختلاف در غلظت‌های بالاتر کمپلکس یعنی ۴۰۰ و ۸۰۰ میکروگرم بر میلی‌لیتر $P < 0.01$ است. به‌علاوه در تصویر مربوط به وزن جنین‌ها ملاحظه می‌شود که بین تمامی گروه‌های تیمار شده با گروه کنترل اختلاف معنی‌داری در سطح $P < 0.01$ وجود دارد. همچنین با افزایش غلظت کمپلکس وزن جنین‌ها نیز کاهش یافت که نشان‌دهنده اثر وابسته به غلظت کمپلکس VO-CYC است.

مطالعه وزن و قد جنین‌های جوجه در تیمار با کمپلکس VO-CYC
یافته‌های حاصل از این بررسی نشان‌دهنده کاهش معنی‌دار وزن و قد جنین‌های تحت تیمار با کمپلکس نسبت به گروه کنترل بود. همان‌طور که در نمودار ۳ و تصویر مربوط به قد جنین‌ها ملاحظه می‌شود، بین گروه‌های تیمار شده با غلظت ۱۰۰ و ۲۰۰ میکروگرم بر میلی‌لیتر کمپلکس VO-CYC با گروه کنترل اختلاف معنی‌داری در سطح $P < 0.05$ وجود دارد. این



نمودار ۳- میانگین قد و وزن جنین‌های جوجه تحت تیمار با غلظت‌های مختلف کمپلکس VO-CYC در مقایسه با گروه کنترل. اختلاف در سطح $P < 0.05$ ، $P < 0.01$ و $P < 0.001$ معنی‌دار است.

بحث

غیرفعال گزارش گردید که اشاره به نقش گروه آلدئیدی در اثر ضد رگ زایی دارد. این نتایج نشان دهنده اثر ضد رگ زایی PLP و پیریدوکسال بوده و حاکی از آن است که اثر ضد توموری مقادیر بالای ویتامین B₆ ممکن است به واسطه مهار آنژیوژنز باشد (۱۴). در مطالعه ما نیز اثرات ضد رگ زایی کمپلکس اکسوانادیم (IV) از شیف باز N و N'-دی پیریدوکسیل (سیکلوهاگزان دی آمین) که از جمله شیف بازهای پیریدوکسال است مورد بررسی قرار گرفت و این کمپلکس اثرات ضد رگ زایی چشمگیری را طی بررسی‌های In vitro و In vivo نشان داد. به علاوه ترکیبات وانادیم نیز اثرات پیشگیرانه را در برابر سرطان زایی، با تغییر عمده آنزیم‌های مختلف زنبیوتیک، نشان داده‌اند. مطالعات بر روی سلول‌های مختلف نشان می‌دهد که وانادیم اثرات ضد توموری خود را از طریق مهار تیروزین فسفاتاز سلولی و یا فعال شدن تیروزین فسفوریلازها اعمال می‌کند. هر دو اثر، مسیرهای انتقال سیگنال را فعال می‌کنند که منجر به فعال شدن ژن‌های سرکوب کننده تومور می‌شود. وانادیم همچنین ممکن است اثرات مهاری بر پتانسیل متاستاتیک سلول سرطانی را از طریق مدولاسیون مولکول‌های چسبنده سلولی اعمال کند. وانادیم دارای سمیت کم است که در ترکیب و سنتز کمپلکس‌های جدید، قوی‌تر و پایدارتر ممکن است به عنوان عامل ضد تومور فلزی اثرات بسیار خوبی ایجاد نماید (۱۵). دلایل فوق ما را بر آن داشت که اثرات ضد توموری و ضد رگ زایی کمپلکس VO-CYC را مورد بررسی قرار دهیم و این کمپلکس در این خصوص عملکرد بسیار خوبی را نشان داد.

در مطالعه دیگری اثر کمپلکس فلزی Mn(II) تولید شده از شیف بازی مشتق شده از پیریدوکسال بر رگ زایی تومور بررسی گردید. مقایسه بافت‌های تیمار شده توسط کمپلکس مذکور با گروه کنترل تفاوت چشمگیری را نشان داد. طی این بررسی مشخص گردید که سرعت رشد تومور و تعداد عروق خونی در تیمار با کمپلکس به خوبی کاهش یافته است (۷).

در تحقیقی اثرات ضد رگ زایی دسته‌ای از شیف بازهای والپروئیک اسید هیدرازید مورد مطالعه قرار گرفت. یکی از این شیف بازها با عنوان N-والپروگلاسیسین هیدرازید دارای پتانسیل بسیار خوبی در مهار آنژیوژنز و تشکیل عروق خونی در غلظت پایین بود در حالی که مشتقات شیف باز دیگر تحت عنوان N-والپروئیل-۴-آمینو بنزوئیل هیدرازید دارای اثرات پرو آنژیوژنیک

هدف از این مطالعه بررسی اثرات ضد رگ زایی کمپلکس اکسوانادیم (IV) از شیف باز N و N'-دی پیریدوکسیل (سیکلوهاگزان دی آمین) بر روی پرده کوریوالانتوتیک جنین جوجه بود و کمپلکس مذکور اثرات ضد رگ زایی قابل توجهی را در آزمایش‌های In vitro و In vivo نشان داد.

مطالعات متعددی نشان داده‌اند که فاکتورهای آنژیوژنیک در رشد و گسترش تومورها نقش بسیار مهمی بر عهده‌دارند. در بررسی ایمونوهیستوشیمی، خانواده VEGF و رسپتورهای آن‌ها تقریباً در نیمی از سرطان‌های بررسی شده دخیل بودند (۱۱)، (۱۲).

VEGF یک پلی پپتید آنژیوژنیک است که در رشد سرطان مؤثر است. VEGF در سرطان لوزالمعده انسان با افزایش نئواسکولاریزاسیون یا تغییرات خصوصیات کلینیکوپاتولوژیکی مرتبط است. ایکاکورا و همکاران نتیجه گرفتند که VEGF معمولاً در سرطان لوزالمعده انسان بیش از حد بیان می‌شود و همبستگی مثبتی با عود کردن موضعی، پتانسیل متاستازی و بقای کلی دارد؛ بنابراین VEGF یا گیرنده‌های آن به عنوان اهداف درمانی در سرطان لوزالمعده مطرح شدند. بازدارنده‌های COX-2 موجب بازدارندگی رشد تومور سرطان لوزالمعده به وسیله بازدارندگی عمل COX-2 می‌شوند که عمل آن شامل تشکیل رگ‌های خونی است که از رشد سلولی تومور پشتیبانی می‌کنند. در پژوهشی، نشان داده شد که شیف بازهای جدید از نیمسولاید، قادر به بازدارندگی فعالیت VEGF هستند. دیگر یافته این پژوهش این است که بخشی از بازدارندگی VEGF می‌تواند به سمیت این ترکیبات، صرف نظر از وضعیت سلول‌های COX-2 نسبت داده شود (۱۳).

در پژوهشی مقادیر بسیار زیاد ویتامین B₆ برای سرکوب رشد تومور و متاستاز در جوندگان گزارش گردید. برای بررسی این که آیا اثر ضد سرطانی این ویتامین ناشی از مهار آنژیوژنز است یا خیر، مطالعه‌ای به منظور بررسی اثرات ضد آنژیوژنز پیریدوکسال-۵-فسفات (PLP)، پیریدوکسین، پیریدوکسال و پیریدوکسامین به صورت ex vivo با استفاده از حلقه آئورت موش صحرائی انجام شد. حلقه‌های آئورت موش با غلظت‌های مختلف ترکیبات فوق تیمار شدند. یافته‌های حاصل از پژوهش نشان داد که غلظت‌های بالای PLP و پیریدوکسین باعث مهار کامل آنژیوژنز می‌شود. پیریدوکسال نیز مشابه PLP مؤثر واقع شد ولی پیریدوکسامین

نتیجه گیری

در تحقیقی که انجام گرفت، کمپلکس اکسووانادیم (IV) از شیف باز N و N'-دی پیریدوکسیل (سیکلوهگزان دی آمین) دارای اثرات ضد رگ زایی بود که این ویژگی به کارگیری این کمپلکس را در درمان سرطان ممکن می‌سازد.

تشکر و قدردانی

این مقاله منتج از پایان‌نامه دانشجویی خانم پریسا قربانی جهت اخذ درجه دکتری رشته زیست‌شناسی گرایش بیوشیمی از دانشگاه آزاد اسلامی واحد علوم و تحقیقات تهران است. بدین‌وسیله از زحمات بی‌دریغ اساتید ارجمند گروه زیست‌شناسی دانشکده علوم پایه دانشگاه آزاد اسلامی واحد علوم و تحقیقات تهران صمیمانه سپاسگزاری می‌گردد. تمامی مراحل تست در این پژوهش با رعایت موازین اخلاقی و طبق تأیید کمیته اخلاق در پژوهش دانشگاه آزاد اسلامی واحد علوم و تحقیقات با شناسه مصوبه IR.IAU.SRB.REC.1397.123 انجام گرفت.

تعارض منافع

نویسندگان هیچ‌گونه تعارض منافی را اعلام نکرده اند.

بودند که نشان‌دهنده تأثیر آن‌ها بر مسیرهای سیگنالیستی است که تشکیل رگ‌های خونی را تحت تأثیر قرار می‌دهند (۸). در مطالعه ما هیچ‌گونه اثر پرو آنژیوژنیک مشاهده نگردید.

در مطالعه‌ای اثرات ضد رگ زایی دو کمپلکس دو هسته‌ای مس (Cu-1 و Cu-2) با استفاده از تست CAM مورد بررسی قرار گرفت. جنین‌های جوجه با PBS (شاهد)، Cu-1، Cu-2 تیمار شدند. Cu-2 اثرات ضد رگ زایی مفیدتری از Cu-1 را در مهار کردن CAM‌های جوجه بر اساس دوز مصرفی نشان داد و عملکرد آن وابسته به دوز نیز بود. این مطالعه نشان داد که Cu-2 سبب متوقف ساختن رگ زایی با بازدارندگی مهاجرت سلولی اندوتلیال مشتق شده از سرطان و تشکیل مجرا می‌گردد. این یافته‌ها نشان داد که تغییرات ساختمانی ظریف ناشی از لیگاند‌های مختلف بین Cu-1 و Cu-2 بر وظیفه ضد سرطانی آن‌ها اثر گذاشته است (۱۶).

همان‌طور که مطالعات بالا نشان می‌دهد، ترکیبات شیف باز و کمپلکس‌های فلزی آن‌ها می‌توانند بر رگ زایی تأثیر بگذارند. همانند اکثر مطالعات ذکرشده، مطالعه ما نیز تأثیر کمپلکس VO-CYC بر رگ زایی و مهار آن را نشان داد.

References

1. Herbertz S, Sawyer JS, Stauber AJ, Gueorguieva I, Driscoll KE, Estrem ST, et al. Clinical development of galunisertib (LY2157299 monohydrate), a small molecule inhibitor of transforming growth factor-beta signaling pathway. Drug design, development and therapy. 2015;9:4479.
2. Yadav L, Puri N, Rastogi V, Satpute P, Sharma V. Tumour angiogenesis and angiogenic inhibitors: a review. Journal of clinical and diagnostic research: JCDR. 2015;9(6):XE01.
3. Nishida N, Yano H, Nishida T, Kamura T, Kojiro M. Angiogenesis in cancer. Vascular health and risk management. 2006;2(3):213.
4. Temirak A, Shaker YM, Ragab FA, Ali MM, Soliman SM, Mortier J, et al. Synthesis, Biological Evaluation, and Docking Studies of New 2-Furylbenzimidazoles as Anti-Angiogenic Agents :Part II. Archiv der Pharmazie. 2014;347(4):291-304.
5. Yusoff H, Hassan N, Bulat KK, editors. Theoretical and Experimental Approach Towards P-Cyano Stilbene Schiff Base as a Potential Linker in E-DNA Sensor. IOP Conference Series: Materials Science and Engineering. 2018; 374(2018):1-6.
6. Chaudhary A, Singh A. Schiff bases: An emerging potent class of pharmaceuticals. International Journal of Current Research in Medical Sciences. 2017;3(5):60-74.
7. Yadamani S, Neamati A, Homayouni-Tabrizi M, Beyramabadi SA, Yadamani S, Gharib A, et al. Treatment of the breast cancer by using low frequency electromagnetic fields and Mn (II) complex of a Schiff base derived from the pyridoxal. The Breast. 2018;41:107-12.
8. El-Faham A, Farooq M, Khattab SN, Elkayal AM, Ibrahim MF, Abutaha N, et al. Synthesis and biological activity of Schiff base series of valproyl, N-valproyl glycinyl, and N-valproyl-4-aminobenzoyl hydrazide derivatives. Chemical & pharmaceutical bulletin. 2014;62(6):591-9.
9. Wu H-C, Huang C-T, Chang D-K. Anti-angiogenic therapeutic drugs for treatment of human cancer. Journal of Molecular Cancer. 2008;4(2):37-45.
10. Soltani M, Parivar K, Baharara J, Kerachian MA, Asili J. Transcriptional analysis of VEGF-D and TGFβ genes in MCF7 cells exposed to saponin isolated from *Holothuria leucospilota* (sea cucumber). Reports of biochemistry & molecular biology. 2015;4(1):25-31.

11. Salven P, Lymboussaki A, Heikkilä P, Jääskela-Saari H, Enhelm B, Aase K, et al. Vascular endothelial growth factors VEGF-B and VEGF-C are expressed in human tumors. *The American journal of pathology*. 1998;153(1):103-8.
12. Su J-L, Yen C, Chen P, Chuang S, Hong C, Kuo I, et al. The role of the VEGF-C/VEGFR-3 axis in cancer progression. *British journal of cancer*. 2007;96(4):541.
13. Ambike V, Adsule S, Ahmed F, Wang Z, Afrasiabi Z, Sinn E, et al. Copper conjugates of nimesulide Schiff bases targeting VEGF, COX and Bcl-2 in pancreatic cancer cells. *Journal of inorganic biochemistry*. 2007;101(10):1517-24.
14. Matsubara K, Mori M, Matsuura Y, Kato N. Pyridoxal 5'-phosphate and pyridoxal inhibit angiogenesis in serum-free rat aortic ring assay. *International journal of molecular medicine*. 2001;8(5):505-8.
15. Evangelou AM. Vanadium in cancer treatment. *Critical Reviews in Oncology/Hematology*. 2002;42(3):249-65.
16. Qin XY, Yang LC, Le FL, Yu QQ, Sun DD, Liu YN, et al. Structures and anti-cancer properties of two binuclear copper complexes. *Dalton Transactions*. 2013;42(41):14681-4.



Original Article

The Study of Antiangiogenic Effects of Oxovanadium(IV) Complex of N,N'-Dipyridoxyl(1,2-cyclopropanediamine) Schiff Base on the Chorioallantoic Membrane of Chick Embryos Cells

Ghorbani P¹, Beyramabadi S.A^{2*}, Homayouni Tabrizi M^{3*}, Yaghmaei P¹

1. Department of Biology, Science and Research Branch, Islamic Azad University, Tehran, Iran

2. Department of Chemistry, Mashhad Branch, Islamic Azad University, Mashhad, Iran

3. Department of Biology, Mashhad Branch, Islamic Azad University, Mashhad, Iran

Received: 15 Jan 2019

Accepted: 28 May 2019

Abstract

Background & Objective: Schiff bases are considered as an important group of compounds in the development of new drugs. The current approach to finding more effective treatment for cancer is to set up different stages of the angiogenesis process using angiogenesis suppressors, such as metal complexes synthesized from the Schiff bases. Therefore, the aim of this research was to investigate the antiangiogenic effects of oxovanadium(IV) complex of N,N'-dipyridoxyl(1,2-cyclopropanediamine) Schiff base on the chorioallantoic membrane of chick embryos cells.

Materials & Methods: Anti-angiogenic activity of oxovanadium(IV) complex of N,N'-dipyridoxyl(1,2-cyclopropanediamine) Schiff base was evaluated using Real-time PCR technique to evaluate the expression changes in angiogenesis-related genes in MCF-7 breast cancer cells and CAM test.

Results: The study of alterations in the expression of genes showed that oxovanadium(IV) complex of N,N'-dipyridoxyl(1,2-cyclopropanediamine) Schiff base had a significant inhibitory effect on the expression of both genes involved in angiogenesis. The findings of the CAM test showed that there was a significant decrease in the number and length of the vessels treated with different doses of the complex (100, 200, 400 and 800 µg/mL) ($P < 0.01$ and $P < 0.001$). Also, there was a significant decrease in weight and height of embryos treated with complex compared to control group at $P < 0.05$, $P < 0.01$ and $P < 0.001$.

Conclusion: In this study, the oxovanadium(IV) complex of N,N'-dipyridoxyl(1,2-cyclopropanediamine) Schiff base has antiangiogenesis effects that make the use of this complex possible for cancer treatment.

Keywords: Oxovanadium(IV) complex, N,N'-dipyridoxyl Schiff base, Antiangiogenesis, Chorioallantoic membrane

*Corresponding Author: Beyramabadi S.Ali, Department of Chemistry, Mashhad Branch, Islamic Azad University, Mashhad, Iran

Email: beiramabadi6285@mshdiau.ac.ir

<https://orcid.org/0000-0001-5123-9524>